

УТВЕРЖДАЮ

Первый заместитель генерального директора -  
заместитель по научной работе ФГУП «ВНИИФТРИ»



## Инструкция

# Комплекс автоматизированный измерительно-вычислительный ТМСА 1.0 – 40.0 Б/Р 075

## Методика поверки

**165-16-03 МП**

2016 г.

## СОДЕРЖАНИЕ

|  |    |
|--|----|
| 1 ВВОДНАЯ ЧАСТЬ.....   | 3  |
| 2 ОПЕРАЦИИ ПОВЕРКИ .....   | 3  |
| 3 СРЕДСТВА ПОВЕРКИ .....   | 4  |
| 4 ТРЕБОВАНИЯ К КВАЛИФИКАЦИИ ПОВЕРИТЕЛЕЙ .....  | 4  |
| 5 ТРЕБОВАНИЯ БЕЗОПАСНОСТИ.....   | 4  |
| 6 УСЛОВИЯ ПОВЕРКИ.....   | 5  |
| 7 ПОДГОТОВКА К ПРОВЕДЕНИЮ ПОВЕРКИ .....  | 5  |
| 8 ПРОВЕДЕНИЕ ПОВЕРКИ.....  | 5  |
| 8.1 Внешний осмотр.....  | 5  |
| 8.2 Опробование .....  | 6  |
| 8.3 Определение метрологических характеристик .....  | 7  |
| 8.3.1 Определение относительной погрешности измерений амплитудного распределения электромагнитного поля, абсолютной погрешности измерений фазового распределения электромагнитного поля..... | 7  |
| 8.3.2 Определение относительной погрешности измерений относительных уровней амплитудных диаграмм направленности и абсолютной погрешности измерений фазовых диаграмм направленности .....     | 13 |
| 8.3.4 Определение диапазона рабочих частот .....   | 15 |
| 8.3.5 Определение размеров рабочей области сканирования .....  | 16 |
| 8.3.6 Определение сектора углов восстанавливаемых диаграмм направленности .....  | 16 |
| 9 ОФОРМЛЕНИЕ РЕЗУЛЬТАТОВ ПОВЕРКИ .....   | 16 |

## 1 ВВОДНАЯ ЧАСТЬ

1.1 Настоящая методика поверки (далее – МП) устанавливает методы и средства первичной и периодической поверок комплекса автоматизированного измерительно-вычислительного ТМСА 1.0 – 40.0 Б/Р 075 (далее – комплекс), заводской № 075, изготовленного обществом с ограниченной ответственностью «Научно-производственное предприятие «ТРИМ СП Измерительные системы» (ООО «НПП «ТРИМ СП Измерительные системы»), г. Санкт-Петербург.

1.2 Первая поверка комплекса проводится при вводе его в эксплуатацию и после ремонта. Периодическая поверка комплекса проводится в ходе его эксплуатации и хранения.

1.3 Поверка комплекса проводится не реже одного раза в 24 (двадцать четыре) месяца и после каждого ремонта.

## 2 ОПЕРАЦИИ ПОВЕРКИ

При проведении поверки комплекса должны быть выполнены операции, указанные в таблице 1.

Таблица 1 – Операции поверки

| Наименование операции  | Пункт МП | Проведение операций при |                       |
|--|----------|-------------------------|-----------------------|
|  |          | первой поверке          | периодической поверке |
| 1 Внешний осмотр   | 8.1      | +                       | +                     |
| 2 Опробование  | 8.2      | +                       | +                     |
| 3 Определение метрологических характеристик  | 8.3      | +                       | +                     |
| 3.1 Определение относительной погрешности измерений амплитудного распределения электромагнитного поля и абсолютной погрешности измерений фазового распределения электромагнитного поля | 8.3.1    | +                       | +                     |
| 3.2 Определение относительной погрешности измерений относительных уровней амплитудных диаграмм и абсолютной погрешности измерений фазовых диаграмм                                     | 8.3.2    | +                       | -                     |
| 3.3 Определение относительной погрешности измерений коэффициента усиления антенны методом замещения  | 8.3.3    | +                       | -                     |
| 3.4 Определение диапазона рабочих частот   | 8.3.4    | +                       | -                     |
| 3.5 Определение размеров рабочей области сканирования  | 8.3.5    | +                       | -                     |
| 3.6 Определение сектора углов измеряемых диаграмм направленности   | 8.3.6    | +                       | -                     |

### **3 СРЕДСТВА ПОВЕРКИ**

3.1 При проведении поверки комплекса должны быть применены средства измерений, указанные в таблице 2.

Таблица 2 – Средства измерений для поверки комплекса

| Пункт МП                | Наименование и тип (условное обозначение) основного или вспомогательного средства поверки; обозначение нормативного документа, регламентирующего технические требования, и (или) метрологические и основные технические характеристики средства поверки |
|-------------------------|---|
| 8.3.1 - 8.3.4,<br>8.3.6 | Аттенюатор ступенчатый программируемый 84908М, диапазон частот от 0 до 50 ГГц, диапазон вводимых ослаблений от 0 до 65 дБ с шагом 5 дБ  |
| 8.3.1 - 8.3.4           | Набор мер коэффициентов передачи и отражения 85056А, диапазон частот от 45 МГц до 50 ГГц  |
| 8.3.1 - 8.3.6           | Система лазерная координатно-измерительная API OMNITRAC, диапазон измерений расстояний от 0 до 40 м, предел допускаемой погрешности измерений расстояний 25 мкм (для расстояния L<10 м), 2,5L мкм (для L>10 м)  |
| 8.3.1 - 8.3.4,<br>8.3.6 | Антенный измерительный комплект АИК 1-40Б, диапазон рабочих частот от 0,9 до 40 ГГц, пределы допускаемой погрешности измерений коэффициента усиления ± 1,2 дБ (для антенн Пб-140-х), ± 1,8 дБ (для антенн Пб-123)                                       |

3.2 Допускается использовать аналогичные средства поверки, которые обеспечат измерения соответствующих параметров с требуемой точностью.

3.3 Средства поверки должны быть исправны, поверены и иметь свидетельства о поверке.

### **4 ТРЕБОВАНИЯ К КВАЛИФИКАЦИИ ПОВЕРИТЕЛЕЙ**

4.1 Поверка должна осуществляться лицами, аттестованными в качестве поверителей в области радиотехнических измерений и имеющим квалификационную группу электробезопасности не ниже третьей.

4.2 Перед проведением поверки поверитель должен предварительно ознакомиться с документом «Комплекс автоматизированный измерительно-вычислительный ТМСА 1.0 – 40.0 Б/Р 075. Руководство по эксплуатации. ТМСА 075. 040. 00Б РЭ».

### **5 ТРЕБОВАНИЯ БЕЗОПАСНОСТИ**

5.1 При проведении поверки должны быть соблюдены все требования безопасности в соответствии с ГОСТ 12.3.019-80 «ССБТ. Испытания и измерения электрические. Общие требования безопасности», а также требования безопасности, приведённые в эксплуатационной документации на составные элементы комплекса и средства поверки.

5.2 Размещение и подключение измерительных приборов разрешается производить только при выключенном питании.

## **6 УСЛОВИЯ ПОВЕРКИ**

6.1 При проведении поверки комплекса должны соблюдаться условия, приведенные в таблице 3.

Таблица 3 – Условия проведения поверки комплекса

| Влияющая величина                            | Нормальное значение | Допускаемое отклонение от нормального значения |
|--|---------------------|--|
| Температура окружающей среды, °C             | 20                  | ±5   |
| Относительная влажность воздуха, %           | от 40 до 80         | –  |
| Атмосферное давление, кПа                    | от 84 до 106,7      | –  |
| Напряжение питающей сети переменного тока, В | 220                 | ±22  |
| Частота питающей сети, Гц                    | 50                  | ±1   |

## **7 ПОДГОТОВКА К ПРОВЕДЕНИЮ ПОВЕРКИ**

7.1 Проверить наличие эксплуатационной документации и срок действия свидетельств о поверке на средства поверки.

7.2 Подготовить средства поверки к проведению измерений в соответствии с руководствами по их эксплуатации.

## **8 ПРОВЕДЕНИЕ ПОВЕРКИ**

### **8.1 Внешний осмотр**

8.1.1 При проведении внешнего осмотра комплекса проверить:

- комплектность и маркировку комплекса;
- наружную поверхность элементов комплекса, в том числе управляющих и питающих кабелей;
- состояние органов управления;

8.1.2 Проверку комплектности комплекса проводить сличением действительной комплектности с данными, приведенными в разделе «Комплект поставки» документа «Комплекс автоматизированный измерительно-вычислительный ТМСА 1.0 – 40.0 Б/Р 075. Паспорт. ТМСА 075. 040. 00Б ПС» (далее – ПС).

8.1.3 Проверку маркировки производить путем внешнего осмотра и сличением с данными, приведенными в ПС.

8.1.4 Результаты внешнего осмотра считать положительными, если:

- комплектность и маркировка комплекса соответствует ПС;
- наружная поверхность комплекса не имеет механических повреждений и других дефектов;
- управляющие и питающие кабели не имеют механических и электрических повреждений;
- органы управления закреплены прочно и без перекосов, действуют плавно и обеспечивают надежную фиксацию;
- все надписи на органах управления и индикации четкие и соответствуют их функциональному назначению.

В противном случае результаты внешнего осмотра считать отрицательными и последующие операции поверки не проводить.

## 8.2 Опробование

8.2.1 Идентификация программного обеспечения (далее – ПО)

8.2.1.1 Включить персональные компьютеры (далее – ПК), для чего:

- на блоке источника бесперебойного питания нажать кнопку ВКЛ;
- нажать на системном блоке ПК кнопку включения;
- включить монитор.

После загрузки операционной системы WINDOWS 7 на экране монитора ПК наблюдать иконку программы *Vector*.

Установить далее на ПК программу, позволяющую определять версию и контрольную сумму файла по алгоритму MD5, например, программу «*HashTab*».

8.2.1.2 Выбрать в папке TRIM файл *FrequencyMeas.exe*, нажать на правую кнопку мыши на файле и выбрать пункт «Свойства». Открыть вкладку «Хеш-суммы файлов». Наблюдать контрольную сумму файла *FrequencyMeas.exe* по алгоритму MD5. Открыть вкладку «О программе». Наблюдать значение версии файла *FrequencyMeas.exe*. Результаты наблюдения зафиксировать в рабочем журнале.

8.2.1.3 Повторить операции п. 8.2.1.2 для программ *NFCalc.exe* и *AmrView.exe*.

8.2.1.4 Сравнить полученные контрольные суммы и версии с их значениями, записанными в ПС. Результат сравнения зафиксировать в рабочем журнале.

8.2.1.5 Результаты идентификации ПО считать положительными, если полученные идентификационные данные ПО соответствуют значениям, приведенным в таблице 3.

Таблица 3 - Идентификационные данные ПО

| Идентификационные данные (признаки)                             | Значение   |  |  |
|---|--|--|--|
| Идентификационное наименование ПО                               | FrequencyMeas.exe                                      | NFCalc.exe   | AmrView.exe  |
| Номер версии (идентификационный номер) ПО                       | 5.1.0.0  | 3.20.1   | 3.16.60612   |
| Цифровой идентификатор ПО (контрольная сумма исполняемого кода) | 9DEC2037710B6AB<br>99B82F25F1200E053<br>(алгоритм MD5) | 90F2307A43D11220<br>7504337B9CCA9F24<br>(алгоритм MD5) | FAF113F3C83206EB<br>863D69624F5D3FC0<br>(алгоритм MD5) |

В противном случае результаты проверки соответствия ПО считать отрицательными и последующие операции поверки не проводить.

8.2.2 Проверка работоспособности

8.2.2.1 Подготовить комплекс к работе в соответствии с РЭ.

8.2.2.2 Проверить работоспособность аппаратуры комплекса путем проверки отсутствия сообщений об ошибках и неисправностях при загрузке программного продукта для измерений в ближней зоне «*FrequencyMeas*».

8.2.2.3 Проверить работоспособность всех приводов четырехкоординатного Т-сканера:

- при перемещении по оси 0x;
- при перемещении по оси 0y;
- при перемещении по оси 0z;
- при вращении каретки зонда в плоскости поляризации.

8.2.2.4 Соединить при помощи перемычки соединитель кабеля «вход антенны-зонда» и соединитель кабеля «выход испытываемой антенны». В соответствии с эксплуатационной документацией подготовить к работе векторный анализатор электрических цепей (далее – анализатор) из состава комплекса, перевести его в режим измерений модуля комплексного коэффициента передачи. Установить следующие настройки анализатора:

- полоса анализа от 1 до 40 ГГц;
- ширина полосы пропускания 1 МГц;
- уровень мощности выходного колебания 0 дБ (мВт).

На экране анализатора наблюдать результат измерений частотной зависимости модуля коэффициента передачи. При этом должны отсутствовать резкие изменения полученной харак-

теристики, свидетельствующие о неудовлетворительном состоянии радиочастотного тракта комплекса.

8.2.2.5 Результаты поверки считать положительными, если четырехкоординатный Т-сканер обеспечивает перемещение антены-зонда по осям 0x, 0y, 0z и в плоскости поляризации, на экране анализатора наблюдается результат измерений частотной зависимости модуля коэффициента передачи без резких изменений, а также отсутствует программная или аппаратная сигнализация о неисправностях комплекса.

### 8.3 Определение метрологических характеристик

#### 8.3.1 Определение относительной погрешности измерений амплитудного распределения электромагнитного поля и абсолютной погрешности измерений фазового распределения электромагнитного поля

8.3.1.1 Относительную погрешность измерений амплитудного распределения электромагнитного поля  $\Delta_A$ , дБ, определить по формуле:

$$\Delta_A = 20 \lg(1 + KS_{\Sigma}), \quad (1)$$

$$S_{\Sigma} = \sqrt{\left(\frac{\theta_{A1}^2 + \theta_{A2}^2}{3}\right) + S^2}, \quad (2)$$

$$K = \frac{tS + 1.1\sqrt{\theta_{A1}^2 + \theta_{A2}^2}}{S + \sqrt{\frac{\theta_{A1}^2 + \theta_{A2}^2}{3}}}, \quad (3)$$

$$S = \sqrt{\frac{\sum_{j=1}^m \left( \frac{A_j - \bar{A}}{A_j} \right)^2}{m-1}}, \quad (4)$$

где  $\theta_{A1}$  - погрешность измерений модуля комплексного коэффициента передачи анализатором из состава комплекса;

$\theta_{A2}$  - погрешность измерений, обусловленная неидеальной поляризационной связью антенн-зондов из состава комплекса;

$S$  - среднее квадратическое отклонение результатов измерений амплитудного распределения;

$A$  - результат измерений амплитудного распределения;

$\bar{A}$  - среднее арифметическое результатов измерений амплитудного распределения;

$t$  - коэффициент Стьюдента для заданного числа реализаций измерений амплитудного распределения.

Абсолютную погрешность измерений фазового распределения электромагнитного поля  $\Delta_{\phi}$ , °, определить по формуле:

$$\Delta_{\phi} = \frac{180}{\pi} K_{\phi} S_{\Sigma\phi}, \quad (5)$$

$$S_{\Sigma\phi} = \sqrt{\left(\frac{\theta_{\phi 1}^2 + \theta_{\phi 2}^2 + \theta_{\phi 3}^2}{3}\right) + S_{\phi}^2}, \quad (6)$$

$$K_{\phi} = \frac{tS_{\phi} + 1.1\sqrt{\theta_{\phi 1}^2 + \theta_{\phi 2}^2 + \theta_{\phi 3}^2}}{S_{\phi} + \sqrt{\frac{\theta_{\phi 1}^2 + \theta_{\phi 2}^2 + \theta_{\phi 3}^2}{3}}}, \quad (7)$$

$$S_{\phi} = \sqrt{\frac{\sum_{j=1}^m (\varphi_j - \bar{\varphi})^2}{m-1}}, \quad (8)$$

где  $\theta_{\phi_1}$  - погрешность измерений фазы комплексного коэффициента передачи анализатором из состава комплекса, рад;

$\theta_{\phi_2}$  - погрешность измерений фазы, обусловленная неточностью позиционирования антены-зонда в плоскости сканирования, рад;

$\theta_{\phi_3}$  - погрешность измерений фазы, обусловленная случайными перегибами радиочастотного тракта комплекса, рад;

$S_{\phi}$  - среднее квадратическое отклонение результатов измерений фазового распределения, рад;

$\varphi$  - результат измерений фазового распределения, рад;

$\bar{\varphi}$  - среднее арифметическое результатов измерений фазового распределения, рад.

Относительные погрешности измерений амплитудного распределения электромагнитного поля и относительные погрешности измерений фазового распределения электромагнитного поля определить при относительных уровнях амплитудного распределения от минус 10 до минус 50 дБ с интервалом 10 дБ при соотношениях сигнал/шум на входе приемного канала анализатора не менее 10 дБ.

Относительные погрешности измерений амплитудного распределения электромагнитного поля и относительные погрешности измерений фазового распределения электромагнитного поля определить на частотах 1; 2; 5; 10; 20; 40 ГГц.

На частотах от 1 до 20 ГГц ограничиться формулами:

$$\Delta_A = 20 \lg \left( 1 + 1.1 \sqrt{\theta_{A1}^2 + \theta_{A2}^2} \right); \quad (9)$$

$$\Delta_{\phi} = \frac{180}{\pi} 1.1 \sqrt{\theta_{\phi 1}^2 + \theta_{\phi 2}^2 + \theta_{\phi 3}^2}. \quad (10)$$

Частные составляющие погрешности измерений (слагаемые в выражениях (2), (3), (6), (7)) определить по следующим методикам.

8.3.1.2 Относительную погрешность измерений модуля комплексного коэффициента передачи анализатором из состава комплекса определить при помощи аттенюатора 84908М.

В измерительный тракт комплекса внести аттенюатор таким образом, чтобы он соединял разъемы радиочастотных кабелей для подключения испытуемой антены и антены-зонда. Ослабление аттенюатора установить равным 0 дБ.

Провести полную двухпортовую калибровку анализатора из состава комплекса в комплекте с штатными радиочастотными кабелями и аттенюатором в диапазоне частот от 1 до 26 ГГц в соответствии с технической документацией на него.

Установить следующие настройки анализатора:

- полоса анализа от 1 до 26 ГГц;
- ширина полосы пропускания 500 Гц;
- режим измерений модуля комплексного коэффициента передачи S21;
- количество точек 3601.

Без подачи мощности с порта генератора анализатора провести измерения модуля комплексного коэффициента передачи  $|S12(f_i)|$ , дБ. Зафиксировать верхнюю границу АЧХ шума  $N$ ,

дБ, а также нижний предел измерений модуля коэффициента передачи на уровне  $(N+10)$ , дБ, что соответствует соотношениям сигнал/шум на входе приемного канала анализатора 10 дБ.

Увеличивая мощность сигнала с порта генератора анализатора, зафиксировать опорный уровень, при котором обеспечивается условие  $|S12(f_i)| \geq (N+60)$ , дБ.

Изменяя ослабление аттенюатора от 5 до 50 дБ с шагом 5 дБ, провести измерения модуля комплексного коэффициента передачи.

Относительную погрешность измерений модуля комплексного коэффициента передачи на каждой частоте  $f_i$ , указанной в п. 5.1.1, рассчитать как разность (в логарифмических единицах) между измеренным значением модуля коэффициента передачи  $|S12(f_i)|$ , дБ, и действительным значением ослабления аттенюатора  $L(f_i)$ , дБ, записанным в его технической документации (свидетельстве о поверке):

$$\theta_{A1}(f_i) = |S12(f_i)| - L(f_i), \quad (11)$$

За погрешность  $\theta_{A1}$  для каждого номинала ослабления, соответствующего относительному уровню амплитудного распределения электромагнитного поля М, принять максимальное значение погрешности измерений  $\theta_{A1}(f_i)$  соответствующего номинала ослабления аттенюатора в установленной полосе частот в линейном масштабе:

$$\theta_{A1}^{(M)} = \max \left\{ 10^{\frac{\theta_{A1}^{(M)}(f_i)}{20}} \right\}. \quad (12)$$

Аналогичные измерения и расчеты выполнить в диапазоне частот от 26 до 40 ГГц с применением высокочастотных кабельных сборок из состава комплекса.

Результаты поверки записать в таблицу.

Таблица 4 – Результаты оценки погрешности измерений модуля комплексного коэффициента передачи анализатором из состава комплекса

| Ослабление аттенюатора $L$ , дБ | Относительный уровень амплитудного распределения М, дБ | Погрешность измерений с/ш=10 дБ |
|---------------------------------|--|---------------------------------|
| 10                              | минус 10   |                                 |
| 20                              | минус 20   |                                 |
| 30                              | минус 30   |                                 |
| 40                              | минус 40   |                                 |
| 50                              | минус 50   |                                 |

8.3.1.3 Погрешность измерений, обусловленную неидеальной поляризационной связью антенн-зондов из состава комплекса, определить по формуле:

$$\theta_{A2} = (1 + 10^{0.1KPP})^2 - 1, \quad (13)$$

где  $KPP$  – минимальный уровень кроссполяризационной связки антенн-зондов из состава комплекса, принимаемый равным минус 25 дБ.

8.3.1.4 Относительную погрешность измерений фазы комплексного коэффициента передачи векторным анализатором цепей из состава комплекса определить с помощью набора мер коэффициентов передачи и отражения 85056А и аттенюатора 84908М.

В измерительный тракт комплекса внести аттенюатор и меру фазового сдвига из состава набора 85056А таким образом, чтобы они соединяли разъемы радиочастотных кабелей для подключения испытуемой антенны и антены-зонда. Ослабление аттенюатора установить равным 0 дБ.

Провести полную двухпортовую калибровку анализатора из состава комплекса в комплекте с штатными радиочастотными кабелями, аттенюатором и мерой в диапазоне частот от 1 до 26 ГГц в соответствии с технической документацией на него.

Изменяя ослабление аттенюатора от 5 до 50 дБ с шагом 5 дБ, провести измерения фазы комплексного коэффициента передачи при следующих настройках анализатора:

- полоса анализа от 1 до 26 ГГц;
- ширина полосы пропускания 500 Гц;
- уровень мощности выходного колебания минус 10 дБ (мВт);
- режим измерений фазы комплексного коэффициента передачи S21;
- количество точек 3601.

Относительную погрешность измерений фазы комплексного коэффициента передачи на

каждой частоте  $f_i$ , указанной в п. 5.1.1, рассчитать как разность между измеренным значением фазы коэффициента передачи  $\arg(S12(f_i))$ , рад, и действительным значением установленного фазового сдвига меры  $\Phi^{(N)}(f_i)$ , рад, записанным в его технической документации:

$$\theta_{\phi_1}^{(N)}(f_i) = \arg(S12(f_i)) - \Phi^{(N)}(f_i), \quad (14)$$

За погрешность  $\theta_{\phi_1}$  для каждого номинала относительного уровня фазового распределения электромагнитного поля принять максимальное значение погрешности измерений  $\theta_{\phi_1}^{(N)}(f_i)$  соответствующего номинала ослабления аттенюатора в установленной полосе частот:

$$\theta_{\phi_1}^{(N)} = \max \{\theta_{\phi_1}^{(N)}(f_i)\}. \quad (15)$$

Провести аналогичные измерения и расчеты для полосы частот от 26 до 40 ГГц с применением высокочастотных кабельных сборок из состава комплекса.

Результаты поверки записать в таблицу.

Таблица 5 – Результаты оценки погрешности измерений фазы комплексного коэффициента передачи анализатором из состава комплекса

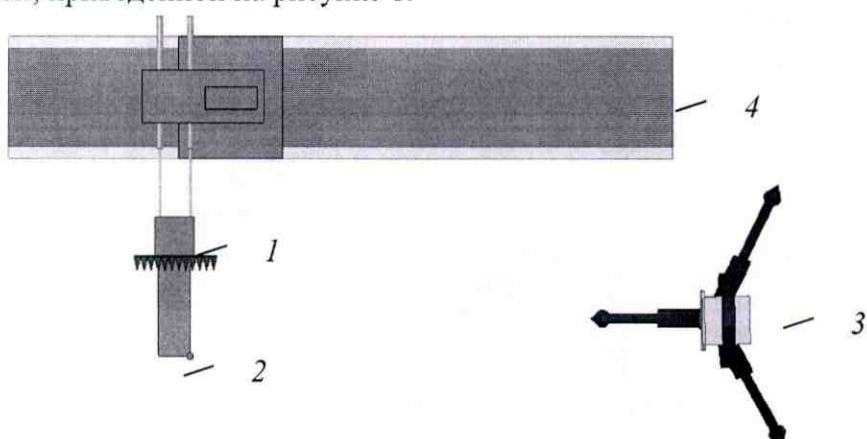
| Ослабление<br>аттенюатора L, дБ | Относительный уровень<br>амплитудного распределения M, дБ | Погрешность измерений<br>с/ш=10 дБ |
|---------------------------------|---|------------------------------------|
| 10                              | минус 10  |                                    |
| 20                              | минус 20  |                                    |
| 30                              | минус 30  |                                    |
| 40                              | минус 40  |                                    |
| 50                              | минус 50  |                                    |

8.3.1.5 Погрешность измерений фазы, обусловленную неточностью позиционирования антенных-зонда в плоскости сканирования, определить с помощью системы лазерной координатно-измерительной API OMNITRAC.

Подготовить комплекс к измерению характеристик антенн в ближней зоне в соответствии с РЭ.

Подготовить систему лазерную координатно-измерительную API OMNITRAC к измерению в соответствии с эксплуатационной документацией на нее.

Оптический отражатель из состава системы лазерной координатно-измерительной API OMNITRAC закрепить на антенну-зонд, установленную на сканере из состава комплекса, в соответствии со схемой, приведенной на рисунке 1.



1 – антenna-зонд; 2 – оптический отражатель; 3 – система API OMNITRAC; 4 – сканер

Рисунок 1 – Схема измерений характеристик позиционирования сканера

С помощью программы ручного управления сканером (рисунок 2) в соответствующей вкладке программного продукта для измерений в ближней зоне «FrequencyMeas» переместить антенну-зонд в крайнее центральное левое положение. Зафиксировать показания API OMNITRAC.

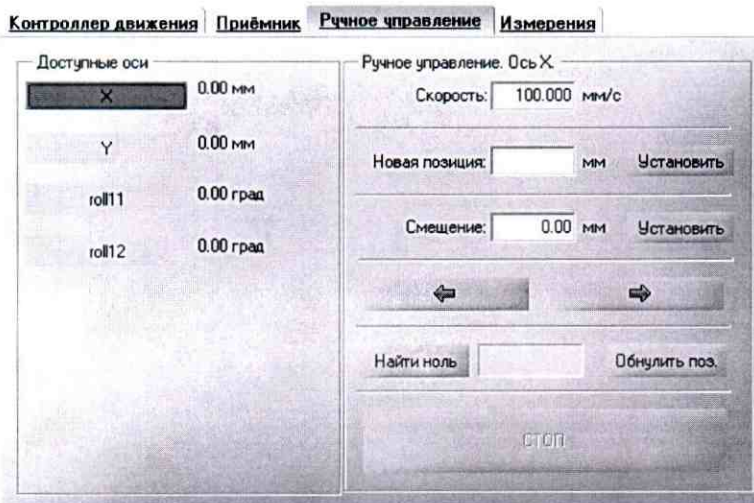


Рисунок 2 – Меню программы для ручного управления движением сканера

Перемещая антенну-зонд с установленным оптическим отражателем вдоль оси 0х в пределах рабочей зоны сканера с шагом  $\lambda_{min}/2$ , где  $\lambda_{min}$  - минимальная длина волны, соответствующая верхней границе диапазона рабочих частот комплекса, до срабатывания механического ограничителя, фиксировать показания системы лазерной координатно-измерительной API OMNITRAC.

С помощью программы ручного управления сканером (рисунок 2) в соответствующей вкладке программного продукта для измерений в ближней зоне «NFMeas» переместить антенну-зонд в крайнее центральное нижнее положение. Зафиксировать показания API OMNITRAC.

Перемещая антенну-зонд с установленным оптическим отражателем вдоль оси 0у в пределах рабочей зоны сканера с шагом  $\lambda_{min}/2$ , до срабатывания механического ограничителя, фиксировать показания системы лазерной координатно-измерительной API OMNITRAC.

Рассчитать погрешность позиционирования антены-зонда как разность между координатами вертикальной плоскости измерений системы лазерной координатно-измерительной API OMNITRAC и измеренными координатами положения антены-зонда  $\Delta z$ , м.

Погрешность измерений фазы  $\Delta\phi(f_i)$ , рад, обусловленную неточностью позиционирования антены-зонда в плоскости сканирования, для каждого номинала частоты, указанного в п. 8.3.1.1, оценить по формуле:

$$\Delta\phi(f_i) = k \cdot \Delta z, \quad (16)$$

где  $k = 2\pi/\lambda$  - волновое число, 1/м;

$\lambda$  – длина волны, соответствующая частотам, указанным в п. 5.1.1, м.

За погрешность измерений фазы  $\theta_{\phi_2}$  для каждого номинала частоты, указанного в п. 8.3.1.1, принять среднее квадратическое значение погрешности, определенное по формуле (16):

$$\theta_{\phi_2} = \sqrt{\frac{\sum_{i=0}^{M-1} (\Delta\phi(f_i))^2}{M}}, \quad (17)$$

где  $M$  – число точек, в которых проводились измерения пространственного положения антены-зонда.

Размеры рабочей области сканирования по осям 0х и 0у рассчитать как разность между показаниями системы лазерной координатно-измерительной API OMNITRAC в момент срабатывания механического ограничителя сканера и ее показаниями при установке антены-зонда в крайние положения.

8.3.1.6 Погрешность измерений фазы, обусловленную случайными перегибами радиочастотного тракта комплекса определить с помощью набора меры отражения из состава мер коэффициентов передачи и отражения 85056А.

В измерительный тракт комплекса внести меры отражения таким образом, чтобы он за-

мыкал соединитель радиочастотного кабеля для подключения антены-зонда.

Провести однопортовую калибровку анализатора из состава комплекса в диапазоне частот от 26 до 40 ГГц в соответствии с технической документацией на него.

Провести измерения фазы комплексного коэффициента отражения при следующих настройках анализатора:

- полоса анализа от 26 до 40 ГГц;
- ширина полосы пропускания 500 Гц;
- уровень мощности выходного колебания минус 10 дБ (мВт);
- режим измерений фазы комплексного коэффициента отражения S11.

С помощью программы ручного управления сканером (рисунок 2) в соответствующей вкладке программного продукта для измерений в ближней зоне «NFMeas» переместить антенну-зонд в крайнее нижнее положение.

Перемещая антенну-зонд с установленным оптическим отражателем вдоль оси х0у в пределах рабочей зоны сканера с шагом 20 см, фиксировать показания анализатора.

За оценку погрешности измерений фазы, обусловленную случайными перегибами радиочастотного тракта комплекса, принять разность между максимальным и минимальным значением измеренной фазы комплексного коэффициента отражения на частоте 40 ГГц.

8.3.1.7 Оценку среднего квадратического отклонения результатов измерений амплитудного и фазового распределений (АФР) проводить методом прямых измерений с многократными наблюдениями распределения поля, формируемого на плоскости сканирования рупорной антенной П6-140 с коаксиально-волноводным переходом диапазона частот от 26,5 до 40,0 ГГц из состава комплекса.

Антенну П6-140 установить на опорно-поворотное устройство в положение, соответствующее вертикальной поляризации, таким образом, чтобы плоскость раскрыва была параллельна плоскости сканирования.

Используя режим ручного или дистанционного управления сканера, установить антенну-зонд соосно с антенной П6-140 в положение, соответствующее вертикальной поляризации.

Расстояние между раскрывами антенны П6-140 и антены-зонда установить равным в пределах  $3\lambda$ , где  $\lambda$  – максимальная длина волны измеряемого поддиапазона частот.

Запустить программу измерений в частотной области.

В соответствии с РЭ на комплекс установить полосу частот анализатора от 25 до 40 ГГц, ширину полосы пропускания 100 Гц, шаг перестройки по частоте 5 ГГц, уровень мощности выходного сигнала анализатора 10 дБ (мВт).

Далее установить следующие настройки:

- шаг сканирования - не более  $\lambda/2$ ;
- режим сканирования – непрерывное сканирование без реверса;
- поляризация измеряемой антенны – вертикальная;
- поляризация зонда – вертикальная;
- размеры области сканирования  $200 \times 300$  мм.

Нажать кнопку «НАЧАТЬ ИЗМЕРЕНИЯ».

Измерить АФР не менее 7 раз с интервалом не менее 5 мин (далее по тексту - результаты измерений АФР, полученные в ходе одного сканирования, – реализация).

Запустить программу расчета характеристик антенн по данным в ближнем поле nfcalc.exe, входящую в комплект поставки комплекса. На частоте 40 ГГц рассчитать амплитудные  $A_j$  и фазовые  $\varphi_j$  распределения, а также среднее квадратическое отклонение результатов измерений амплитудного и фазового распределений по формулам (4) и (8).

8.3.1.8 Результаты поверки считать положительными, если значения погрешности измерений амплитудного распределения электромагнитного поля при соотношении сигнал/шум на входе приемного канала анализатора не менее 10 дБ и кроссполяризационной связке антены-зонда не менее 25 дБ находятся в следующих пределах для относительных уровней амплитудного распределения:

|               |               |
|---------------|---------------|
| – минус 10 дБ | $\pm 0,3$ дБ; |
| – минус 20 дБ | $\pm 0,4$ дБ; |
| – минус 30 дБ | $\pm 0,6$ дБ; |

|               |               |
|---------------|---------------|
| – минус 40 дБ | $\pm 1,7$ дБ; |
| – минус 50 дБ | $\pm 1,9$ дБ, |

а значения погрешности измерений фазового распределения электромагнитного поля при соотношении сигнал/шум на входе приемного канала анализатора не менее 10 дБ находятся в следующих пределах при относительном уровне амплитудного распределения:

|               |                  |
|---------------|------------------|
| – минус 10 дБ | $\pm 6^\circ$ ;  |
| – минус 20 дБ | $\pm 6^\circ$ ;  |
| – минус 30 дБ | $\pm 7^\circ$ ;  |
| – минус 40 дБ | $\pm 8^\circ$ ;  |
| – минус 50 дБ | $\pm 11^\circ$ . |

### 8.3.2 Определение относительной погрешности измерений относительных уровней амплитудных диаграмм направленности и абсолютной погрешности измерений фазовых диаграмм направленности

8.3.2.1 Определение относительной погрешности измерений относительных уровней амплитудных диаграмм направленности (АДН) и фазовых диаграмм направленности (ФДН) осуществить методом математического моделирования с учетом результатов, полученных в п. 8.3.1 настоящего документа, путем сравнения невозмущенных амплитудных диаграмм направленности, определенных для антенн с равномерным синфазным распределением токов на апертуре, и тех же диаграмм направленности, но с учетом погрешности измерений амплитудного и фазового распределений (АФР).

8.3.2.2 Невозмущенную диаграмму направленности оценить следующим образом.

Размеры плоскости сканирования выбрать из критерия максимального сектора углов восстановляемой ДН, равного  $60^\circ$ , по формулам (10):

$$\begin{aligned} L_X &= a + 2R \cdot \operatorname{tg}\theta, \\ L_Y &= b + 2R \cdot \operatorname{tg}\varphi, \end{aligned} \quad (18)$$

где  $L_X, L_Y$  – размеры плоскости сканирования в соответствующих плоскостях, м;  
 $a, b$  – размеры раскрыва в соответствующих плоскостях, м,  $a = b \geq 5\lambda_{max}$ , где  $\lambda_{max}$  - длина волны, соответствующая частотам 1; 20 и 40 ГГц;

$R$  – измерительное расстояние,  $R = (3 - 8) \lambda_{max}$ , м;

$\Theta, \varphi$  – сектор углов восстановленной ДН в соответствующих плоскостях,  $\Theta = \varphi = 60^\circ$ .

Интервал дискретизации выбрать равным  $0,5\lambda_{max}$ .

Для частоты 1 ГГц пересчитать АФР в раскрыве антенны в АФР на плоскости сканирования по формуле:

$$J(x_2, y_2) = \left[ \sum_{n=0}^{N-1} \sum_{m=0}^{M-1} \left[ \frac{A_0(x, y) \exp[j(\phi_0(x, y))]}{\sqrt{(x - x_2)^2 + (y - y_2)^2 + R^2}} \cdot \exp[-j \frac{2\pi}{\lambda} \sqrt{(x - x_2)^2 + (y - y_2)^2 + R^2}] \right] \right], \quad (19)$$

где  $J(x_2, y_2)$  - АФР на плоскости сканирования;

$(x_2, y_2)$  – координаты на плоскости сканирования, м;

$A_0$  – амплитуда сигнала ( $A_0 = 1$  В);

$\phi_0$  – фаза сигнала ( $\phi_0 = 0$  рад);

$N(M) = \left[ \frac{L_X(L_Y)}{\Delta x(\Delta y)} \right]$  - число шагов сканирования в каждой из плоскостей, где  $\Delta x, \Delta y$  - шаг сканирования в плоскости X и Y, соответственно.

Рассчитать нормированную амплитудную диаграмму направленности и фазовую диаграмму направленности по формулам:

$$\begin{aligned} F_A(u, v) &= \sqrt{1 - u^2 - v^2} \frac{|\Im(J(x_2, y_2))|}{\operatorname{MAX}(|\Im(J(x_2, y_2))|)}, \\ F_\phi(u, v) &= \arg[\Im(J(x_2, y_2))] \end{aligned} \quad (20)$$

где  $|...|$  - модуль комплексной величины;

$\Im(\dots)$  - оператор двумерного дискретного преобразования Фурье;

MAX – максимальное значение амплитудной диаграммы направленности;

$\arg$  – аргумент функции;

$u = \sin \theta \cdot \cos \varphi$ ,  $v = \sin \theta \cdot \sin \varphi$  - угловые координаты.

8.3.2.3 Амплитудную диаграмму антенны и ФДН с учетом погрешности измерений АФР оценить следующим образом.

Значения погрешности измерений амплитудного и фазового распределений для каждого относительного уровня амплитудного распределения М задавать программно с учетом оценки погрешности измерений АФР, полученных в п. 8.3.1, для условия соотношения сигнал/шум 10 дБ:

$$\begin{aligned}\delta A &= \text{Norm}(0, \sigma_A^2), \\ \Delta\varphi &= \text{Norm}(0, \sigma_\varphi^2),\end{aligned}\quad (21)$$

где Norm – генератор случайных величин, распределенных по нормальному закону;

$\sigma_A$  - среднее квадратическое отклонение результатов измерений амплитудного распределения

$$\sigma_A = 10^{\frac{\Delta_A}{20}} / 2,45;$$

$\sigma_\varphi$  - среднее квадратическое отклонение результатов измерений фазового распределения

$$\sigma_\varphi = \Delta_\Phi / 2,45.$$

Рассчитать амплитудное и фазовое распределения ЭМП на плоскости сканирования с учетом погрешности их измерений по формуле:

$$J^*(x_2, y_2) = |J(x_2, y_2)|(1 + \delta A) \exp(j(\arg(J(x_2, y_2)) + \Delta\varphi)). \quad (22)$$

Аналогичным образом провести расчет «возмущенных» ДН 7 раз. При каждой последующей реализации воспроизводить новые случайные величины по законам (21).

8.3.2.4 Погрешности измерений относительных уровней АДН и ФДН оценить следующим образом.

Среднее квадратическое отклонение результатов измерений уровней АДН и ФДН в двух главных сечениях при  $\varphi=0$  и  $\varphi=\pi/2$  рассчитать по формулам:

$$\delta F_A = \sqrt{\sum_{i=1}^k \frac{\left( (F_A^*)_i - F_A \right)^2}{k-1}}, \quad (23)$$

$$\delta F_\Phi = \sqrt{\sum_{i=1}^k \frac{\left( (F_\Phi^*)_i - F_\Phi \right)^2}{k-1}} \quad (24)$$

где  $k$  – число реализаций моделирования,  $k = 7$ .

Рассчитать погрешность измерений уровней АДН и ФДН по формулам:

$$\begin{aligned}\Delta F_A &= \pm 20 \lg(1 + 2,45 \delta F_A); \\ \Delta F_\Phi &= \pm \frac{180}{\pi} 2,45 \cdot \delta F_\Phi.\end{aligned}\quad (24)$$

8.3.2.5 Результаты поверки считать положительными, если значения относительной погрешности измерений относительных уровней амплитудных диаграмм направленности до уровней (при соотношении сигнал/шум на входе приемного канала анализатора не менее 10 дБ, кроссполяризационной связке антенные-зонда не менее 20 дБ, динамическом диапазоне измеренного амплитудного распределения антенны не менее 50 дБ), не превышают пределов:

- |  |  |
|--|--|
| <ul style="list-style-type: none"> <li>- минус 10 дБ</li> <li>- минус 20 дБ</li> <li>- минус 30 дБ</li> <li>- минус 40 дБ</li> </ul> | <ul style="list-style-type: none"> <li><math>\pm 0,4</math> дБ;</li> <li><math>\pm 0,6</math> дБ;</li> <li><math>\pm 1,0</math> дБ;</li> <li><math>\pm 2,0</math> дБ;</li> </ul> |
|--|--|

$$-\text{минус } 50 \text{ дБ} \quad \pm 2,4 \text{ дБ},$$

и значения абсолютной погрешности измерений фазовых диаграмм направленности (при соотношении сигнал/шум на входе приемного канала анализатора не менее 10 дБ, кроссполяризационной связке антены-зонда не менее 20 дБ, динамическом диапазоне измеренного амплитудного распределения антенны не менее 50 дБ) при относительных уровнях амплитудных диаграмм, не превышают пределов:

|               |                  |
|---------------|------------------|
| – минус 10 дБ | $\pm 8^\circ$ ;  |
| – минус 20 дБ | $\pm 8^\circ$ ;  |
| – минус 30 дБ | $\pm 11^\circ$ ; |
| – минус 40 дБ | $\pm 13^\circ$ ; |
| – минус 50 дБ | $\pm 16^\circ$ . |

### 8.3.3 Определение относительной погрешности измерений коэффициента усиления антенн

8.3.3.1 Относительную погрешность измерений коэффициента усиления определить расчетным путем при использовании результатов измерений, полученных в п. 8.3.2 настоящей МП.

Относительную погрешность измерений коэффициента усиления  $\delta$ , дБ, рассчитать по формуле:

$$\delta = \pm 10 \lg \left( 1 + 1,1 \cdot \sqrt{\delta_1^2 + \delta_2^2 + \delta_3^2} \right), \quad (25)$$

где  $\delta_1$  – погрешность измерений АДН до уровней минус 10 дБ;

$\delta_2$  – погрешность коэффициента усиления эталонной антенны;

$\delta_3$  – погрешность за счет рассогласования.

Погрешность за счет рассогласования вычислить по формулам:

$$\begin{aligned} \delta'_3 &= \frac{(1 - |\Gamma_E|^2)(1 + |\Gamma_I| \cdot |\Gamma_K|)^2}{(1 - |\Gamma_E|^2)(1 - |\Gamma_I| \cdot |\Gamma_E|)^2} - 1, \\ \delta_3 &= \frac{(1 - |\Gamma_E|^2)(1 - |\Gamma_I| \cdot |\Gamma_K|)^2}{(1 - |\Gamma_E|^2)(1 + |\Gamma_I| \cdot |\Gamma_E|)^2} - 1, \end{aligned} \quad (26)$$

где  $\Gamma_E$ ,  $\Gamma_I$ ,  $\Gamma_K$  – коэффициенты отражения входов эталонной, испытываемой антенны, входа векторного анализатора цепей из состава комплекса.

Модуль коэффициента отражения связан с коэффициентом стоячей волны по напряжению (КСВН) соотношением:

$$|\Gamma| = \frac{K - 1}{K + 1}. \quad (27)$$

8.3.3.2 При расчетах погрешности за счет рассогласования значение КСВН эталонной антенны, используемой при проведении измерений, не должно превышать 1,2, испытываемой антенны – 2,0, КСВН входа анализатора – 1,2.

8.3.3.3 Результаты поверки считать положительными, если значения относительной погрешности измерений коэффициента усиления антенны методом замещения при КСВН испытываемой антенны не более 2 и погрешности измерений коэффициента усиления эталонной антенны, дБ:

|        |               |
|--------|---------------|
| 0,5 дБ | $\pm 0,7$ дБ; |
| 0,8 дБ | $\pm 1,0$ дБ; |
| 1,5 дБ | $\pm 1,7$ дБ; |
| 2,0 дБ | $\pm 2,2$ дБ. |

### 8.3.4 Определение диапазона рабочих частот

8.3.4.1 Определение диапазона рабочих частот проводить по результатам определения погрешности измерений амплитудного и фазового распределений.

8.3.4.2 Результаты поверки считать положительными, если в диапазоне частот от 1 до 40 ГГц значения относительной погрешности измерений коэффициента усиления находятся в пределах установленных значений (см. п. 8.3.1). В этом случае диапазон частот комплекса со-

ставляет от 1 до 40 ГГц.

### **8.3.5 Определение размеров рабочей области сканирования**

8.3.5.1 Определение размеров рабочей области сканирования осуществлять по результатам измерений, выполненных в соответствии с п. 8.3.1.5 настоящей МП.

8.3.5.2 Результаты поверки считать положительными, если размеры рабочей области сканирования комплекса (длина × высота) не менее  $2,5 \times 2,5$  м.

### **8.3.6 Определение сектора углов восстанавливаемых диаграмм направленности**

8.3.6.1 Определение сектора углов восстанавливаемых диаграмм направленности осуществлять по результатам определения погрешности измерений по п. 8.3.2.

8.3.6.2 Результаты поверки считать положительными и сектором углов восстанавливаемой амплитудной диаграммы направленности в азимутальной и угломестной плоскостях составляет от минус  $60^\circ$  до  $60^\circ$ , если при заданных в п. 8.3.2 условиях моделирования (секторы углов  $\Theta$  и  $\phi$ ) рассчитанная погрешность измерений уровней АДН не превышает установленных в п. 8.3.2 значений.

## **9 ОФОРМЛЕНИЕ РЕЗУЛЬТАТОВ ПОВЕРКИ**

9.1 Комплекс признается годным, если в ходе поверки все результаты поверки положительные.

9.2 При положительных результатах поверки оформляют свидетельство о поверке установленной формы.

9.3 Если по результатам поверки комплекс признан непригодным к применению, свидетельство о поверке аннулируется и выписывается извещение о непригодности к применению с указанием причин забракования.

Начальник НИО-1 ФГУП «ВНИИФТРИ»

О.В. Каминский